

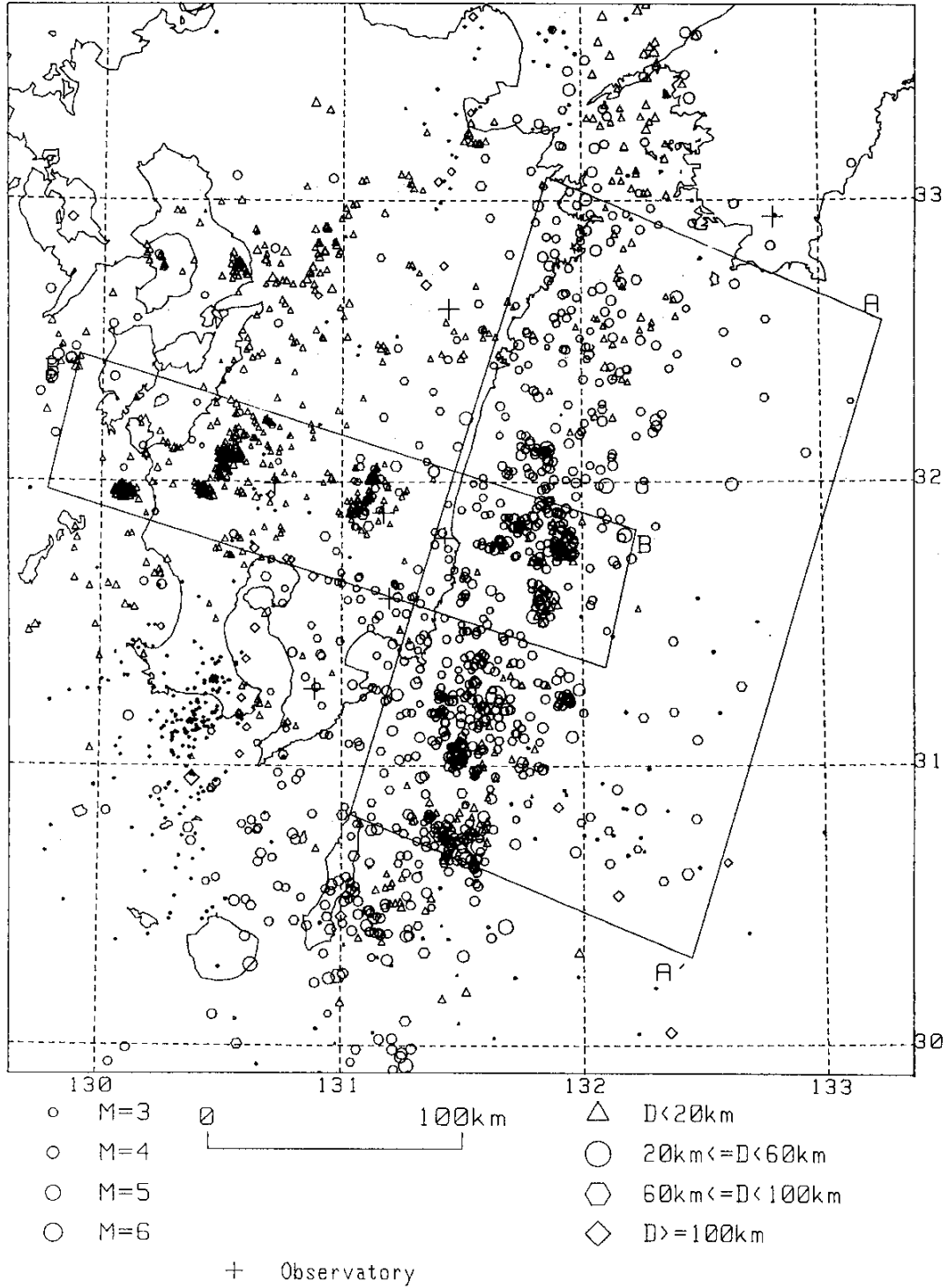
9 - 4 九州東・南部の地震活動（1994年1月～1995年7月）
Seismic Activity in the Eastern and Southern Kyushu District
(January, 1994-July, 1995)

京都大学防災研究所
地震予知研究センター宮崎観測所
Research Center for Earthquake Prediction
Disaster Prevention Research Institute, Kyoto University

第1図に宮崎観測所の観測網（日向灘地殻活動総合観測線）によって求めた1994年1月 - 1995年7月の震央分布を示す。主な地震活動は、九州の東海岸に沿う日向灘地域と霧島火山域の東西及び薩摩半島南端から海域にかけてのやや深発地震である。第2図は第1図の四角で囲った日向灘地域の地震について、海岸線に平行なA - A'面の深さ分布を示す。日向灘北部の震央、深さのばらつきは、観測点間隔の粗さによる震源決定精度の低さに起因すると考えられる。第3図は第2図と同じA - A'面の時空間分布を示す。

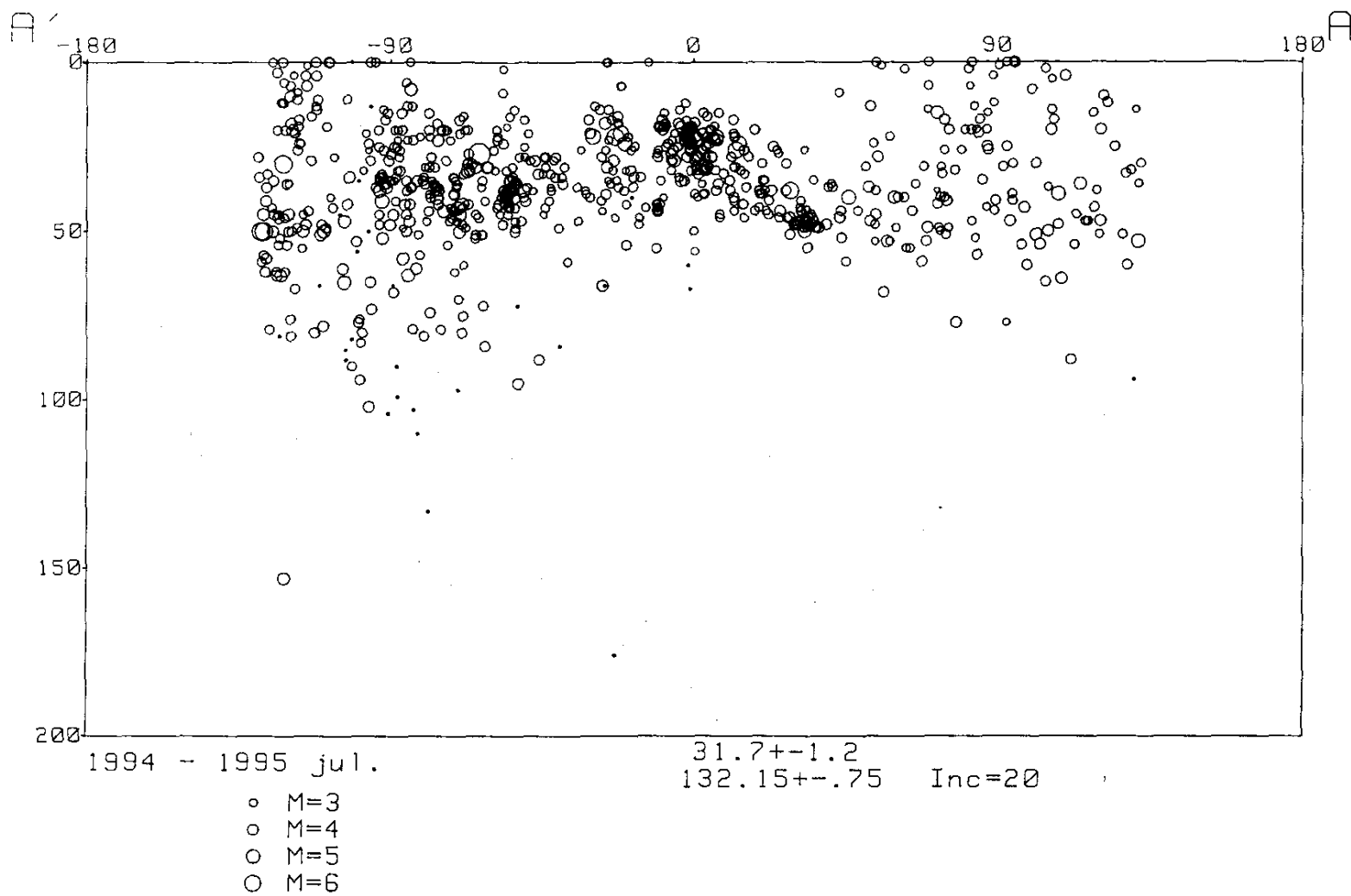
第4図・第5図は霧島火山域を中心とする東西方向の面（第1図B - B'）の深さ分布と時空間分布を示す。

MCO 1994 Jan. - 1995 Jul.

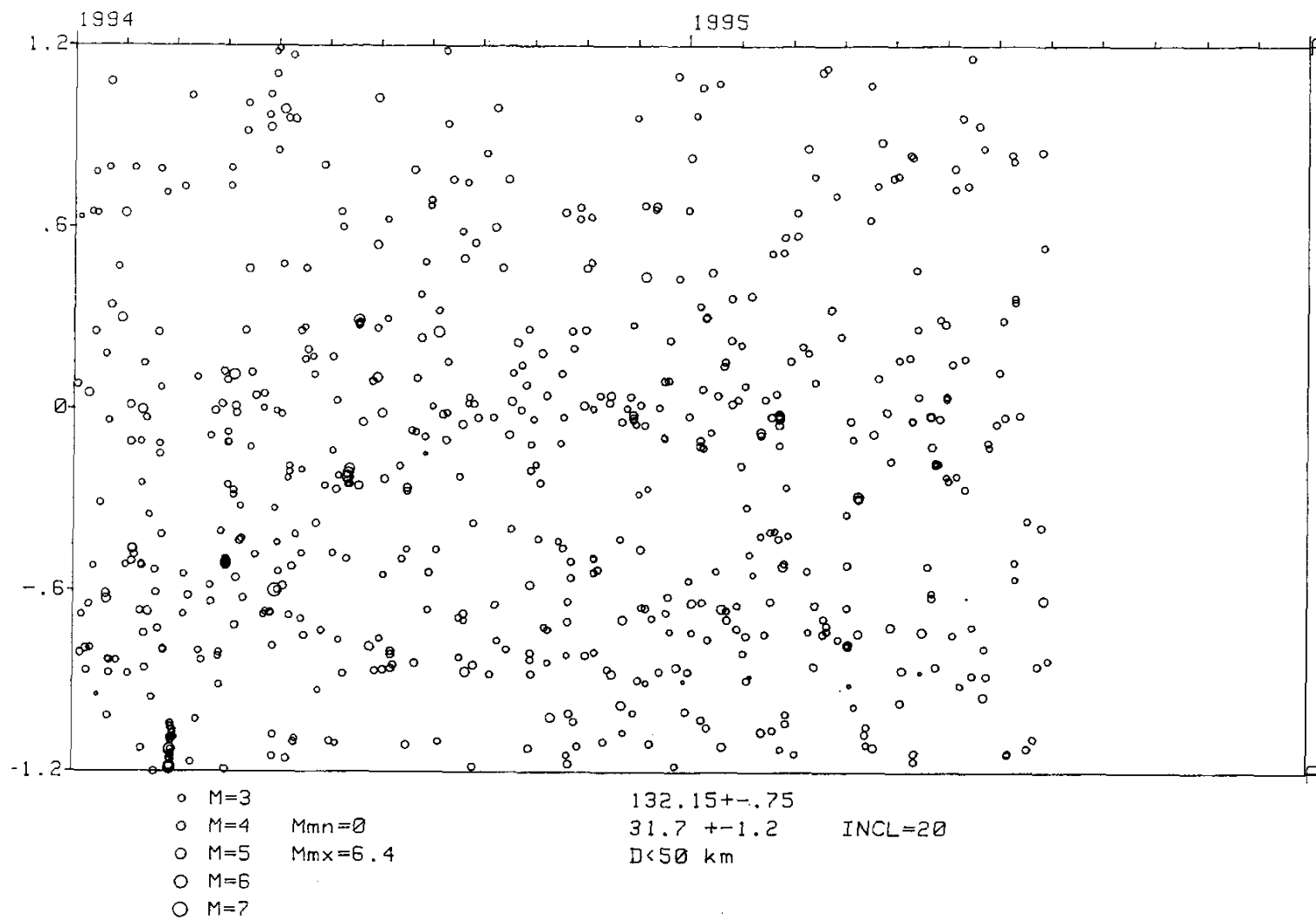


第1図 宮崎観測所の観測網（日向灘地殻活動総合観測線）による震央分布
 (1994年1月-1995年7月)

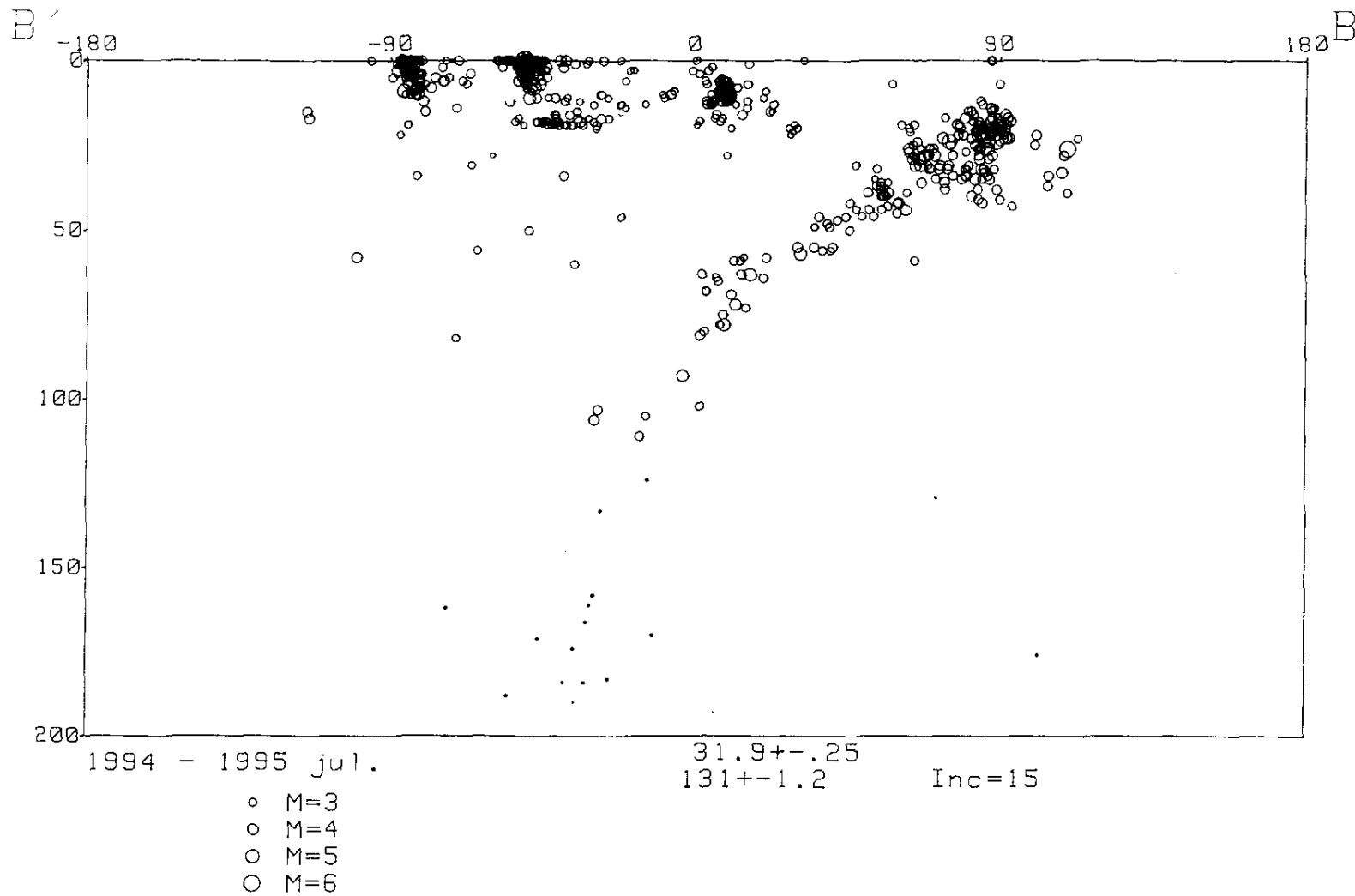
Fig. 1 Epicentral distribution (January, 1994-July, 1995).



第2図 日向灘地域のN20°E-S20°W面 (第1図A-A') の深さ分布
 Fig. 2 Hypocentral distribution in the Hyuuganada region. Projected plane is A-A' in Fig. 1.

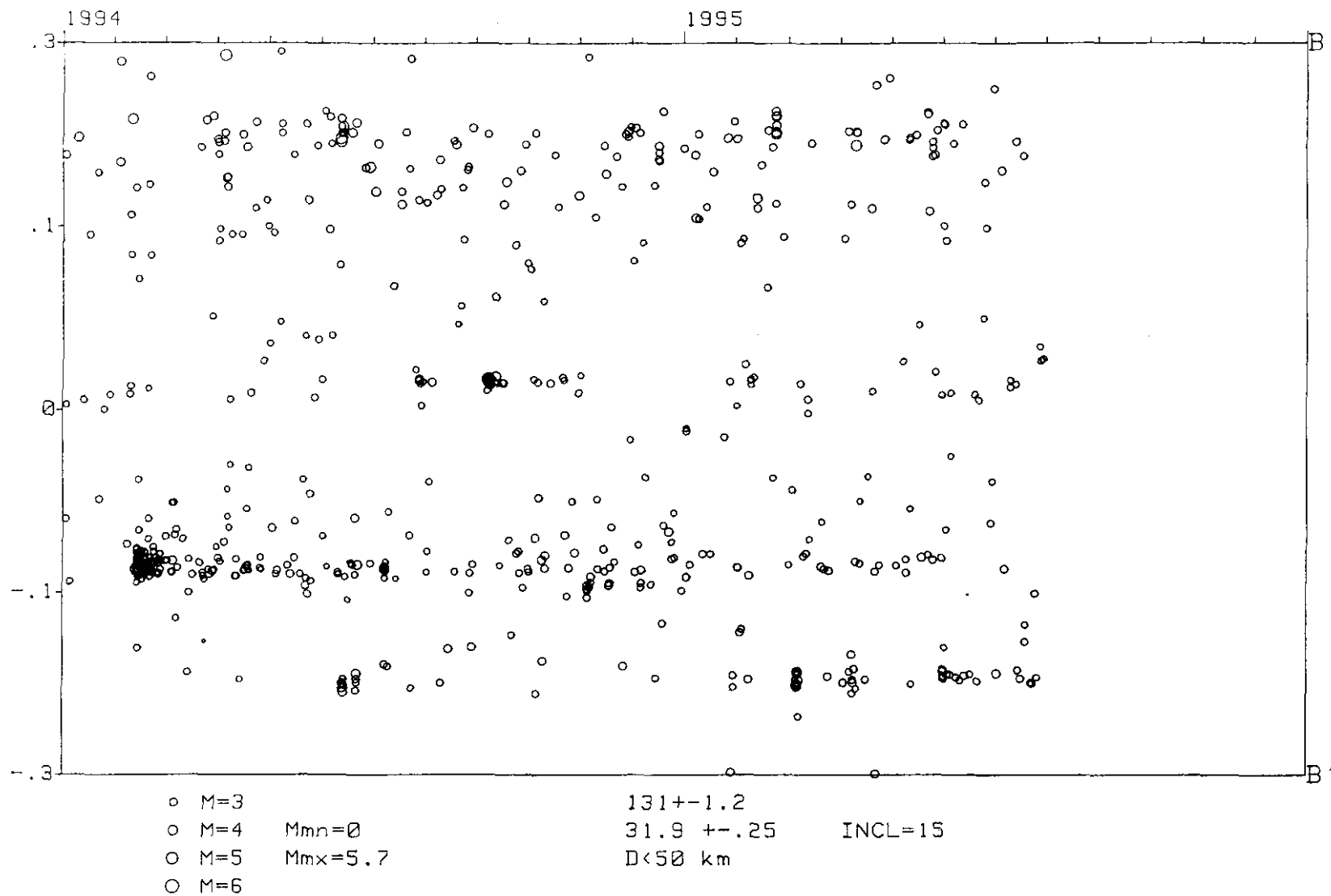


第3図 日向灘地域のN20°E-S20°W面(第1図A-A')の時空間分布
 Fig. 3 Space-time plot of the earthquakes in the rectangle region A-A' in Fig. 1.



第4図 霧島火山域を中心とする N105°E-75°W 面 (B-B') の深さ分布

Fig. 4 Hypocentral distribution projected on the B-B' plane in Fig. 1.



第5図 霧島火山域を中心とする N105°E-N75°W 面 (B-B') の時空間分布

Fig. 5 Space-time plot of the earthquakes projected on the B-B' plane.